
Математический метод предварительной дифференциальной диагностики респираторных вирусных инфекций

A Preprint

Полина Юрьевна Кривуля
Факультет ВМК
МГУ имени М.В.Ломоносова
Москва, Россия
polina_krivulya@mail.ru

Олег Валентинович Сенько
Факультет ВМК
МГУ имени М.В.Ломоносова
Москва, Россия
senkoov@mail.ru

Abstract

Основным методом решения задач компьютерной диагностики является обучение алгоритма машинного обучения на основе выборки, которая состоит из описания отдельных пациентов. Однако такая информация часто ограничена рамками одного медицинского учреждения и имеет небольшой объем. Для достижения более точных результатов необходимо использовать информацию из многих источников.

Информация из литературных источников представима в виде общего числа пациентов и числа заболевших, имеющих определенный симптом. Основными этапами настоящей работы являются анализ таких данных и поиск методов машинного обучения, решающих задачу диагностики с помощью выборки, полученной из большого количества различных медицинских статей. Целью работы является диагностика вирусных инфекций по набору симптомов.

Keywords Машинное обучение · Статистический анализ · Эпидемиология

1 Introduction

Острые респираторные вирусные инфекции (ОРВИ) — наиболее распространенная патология, на долю которой приходится около 90% всех инфекционных болезней. По данным Всемирной организации здравоохранения (ВОЗ), ежегодно заболевает каждый третий житель планеты (1) - (4).

В Российской Федерации ежегодно болеют ОРВИ и гриппом более 30 млн человек, а суммарный экономический ущерб от респираторных вирусных инфекций оценивается в 40 млрд руб. в год. Большие экономические потери обусловлены вовлечением в эпидемический процесс трудоспособного населения, развитием осложнений, непродолжительным нестойким иммунитетом, определяющим повторные случаи заболевания (4) - (8).

Вирусы, вызывающие респираторные инфекции, не являются эндемичными для какого-либо региона или страны и распространены повсеместно. Чаше эпидемии возникают в зимнее время, однако вспышки наблюдаются и в осенне-весенний период, а спорадические случаи ОРВИ — круглый год. Известно около 300 возбудителей респираторных инфекций, более 200 из них представители 4 семейств РНК-содержащих вирусов (ортомиксовирусы, парамиксовирусы, коронавирусы и пикорнавирусы) и 2 семейств ДНК-содержащих вирусов (аденовирусы и герпесвирусы) (9).

Цель данного исследования заключается в анализе и оценке характеристик нескольких типов вирусов, а именно гриппа, аденовируса, респираторно-синцитиального вируса (РС) и бокавируса. Для достижения данной цели проведен анализ набора симптомов, характерных для каждого из этих вирусов, а также учтены сезонные особенности. Ключевыми этапами данного исследования являются оценка статистической значимости симптомов и вычисление априорных и апостериорных вероятностей наличия

каждого типа вируса. Для дальнейшего распознавания типа вируса по набору признаков использован алгоритм наивного байесовского классификатора. Результаты данного исследования могут быть полезны для лучшего понимания характеристик и распространения данных вирусов, а также для разработки эффективных методов профилактики и лечения.

2 Постановка задачи

В данной работе использованы четыре таблицы с информацией о характеристиках гриппа, аденовируса, респираторно-синцитиального вируса и бокавируса. Симптомы, рассматриваемые в данном исследовании, включают температуру, кашель, одышку, боли в горле, боль в груди, ринит, головную боль, диарею и боли в животе. Рассматривается база данных, собранных из медицинских статей, с характеристиками четырех вирусных инфекций. Для каждой статьи имеется информация о суммарном числе заболевших и о количестве людей, имеющих один из девяти симптомов. В некоторых статьях отсутствует информация о части симптомов. Для различных вирусов количество рассматриваемых статей различно.

Для получения априорной вероятности $P(K_i)$ наличия вируса K_i в определенный сезон использована отдельная таблица, отражающая заболеваемость каждым из вирусов по датам в течение нескольких лет.

Для каждого заболевания определено количество зафиксированных симптомов и суммарное число заболеваний (по всем статьям для рассматриваемого типа вируса). Для i -го типа вируса выполняется подсчет вероятности $p_i(x_j)$ иметь j -й симптом как среднее по статьям. При этом в подсчете такого среднего не учитываются статьи, где данный симптом не упомянут.

Для оценки качества используется метрика ROC-AUC, как рекомендуемая Министерством Здравоохранения для использования в доказательной медицине.

Целью работы является качественная диагностика вирусных инфекций с помощью имеющегося набора данных. Для достижения данной цели рассматривается алгоритм на основе формулы:

$$P(K_l|x) = \frac{P(K_l) \prod_{i=1}^n p_l(x_i)}{\sum_{j=1}^L P(K_j) \prod_{i=1}^n p_j(x_i)} \quad (1),$$

где K — тип вируса, n — число рассматриваемых симптомов, $x \in \{0, 1\}^n$ — набор симптомов, $P(K_l)$ — априорная вероятность наличия вируса K_l в текущем сезоне, $p_j(x_i)$ — вероятность наличия (или отсутствия) симптома x_i у вируса j , L — число рассматриваемых вирусов.

3 Эксперименты

3.1 Априорные вероятности

Суммарное количество заболеваний каждым из вирусов представлено на гистограмме 1. На рисунках 2, 3 приведены графики заболеваний вирусами по месяцам.

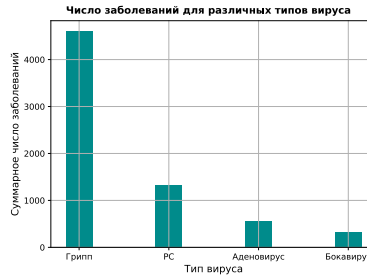


Рис. 1: Информация о суммарном числе заболевших каждым типом вируса

Выполним подсчет априорных вероятностей с использованием формулы

$$p_i^a = \frac{n_i}{\sum_{j=1}^4 n_j}, i = \overline{1, 4},$$

где i – номер типа вируса, n_i – число заболеваний i -м типом вируса в рассматриваемый сезон.

Подсчет выполняется как с учетом сезона, так и без. Полученные результаты представлены в таблице 1 и позволяют определить зависимость априорной вероятности каждого типа вируса от сезона.

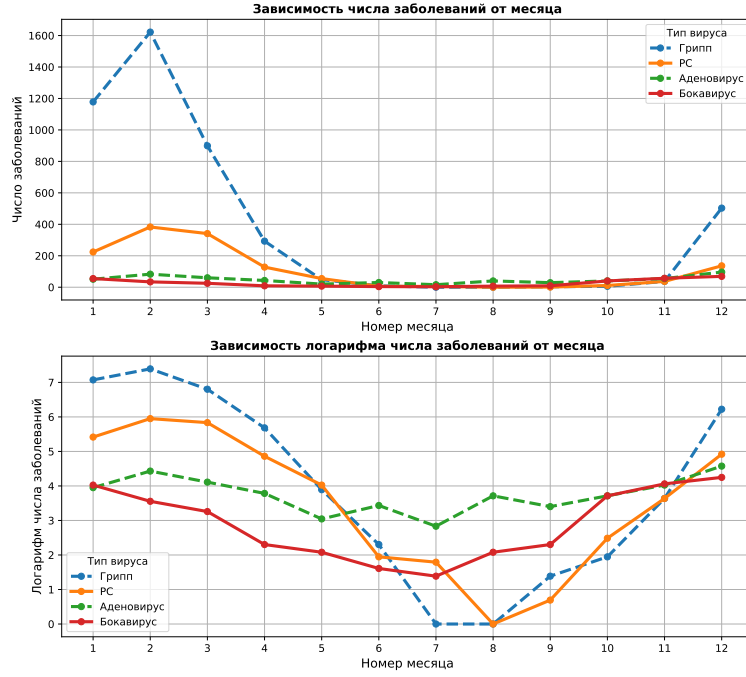


Рис. 2: Информация о числе заболевших данными типами вирусов по месяцам в обычном и логарифмическом масштабе

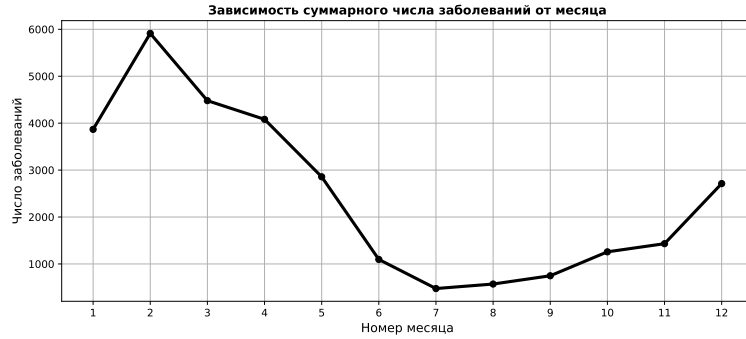


Рис. 3: Информация о суммарном числе заболевших по месяцам

Сезон \ Тип вируса	Тип вируса			
	Грипп	РС	Адено	Бока
Зима	0.745	0.168	0.052	0.037
Весна	0.643	0.272	0.064	0.021
Лето	0.075	0.092	0.717	0.117
Осень	0.142	0.151	0.382	0.326
Без учета сезона	0.675	0.195	0.083	0.047

Таблица 1: Зависимость априорной вероятности каждого типа вируса от сезона

3.2 Апостериорные вероятности

Симптом \ Тип вируса	Грипп	РС	Адено	Бока
Температура	4200	698	1791	308
Кашель	3952	964	1518	373
Одышка	1382	656	172	228
Боли в горле	858	37	1204	1
Боль в груди	353	46	—	—
Ринит	1092	535	915	99
Головная боль	283	2	115	—
Диарея	221	65	362	81
Боли в животе	111	14	188	59
Число заболеваний	5957	1186	1999	525

Таблица 2: Информация о количестве зафиксированных симптомов для каждого из заболеваний (как суммарное по статьям)

Для каждого заболевания определено количество зафиксированных симптомов и суммарное число заболеваний (по всем статьям для рассматриваемого типа вируса). Эти данные представлены в таблице 2.

Для каждого типа вируса найдем вероятность иметь один из девяти симптомов как среднее по статьям в соответствии с формулой:

$$p_j^i = \frac{1}{N^i} \sum_{k=1}^{N^i} \nu_{jk}^i,$$

где ν_{jk}^i — доля симптома j в статье k для вируса i ; N^i — число статей с информацией для i -го вируса.

При этом в подсчете такого среднего не учитываются статьи, где данный симптом не упомянут.

Полученные результаты представлены в таблице 3.

Симптом \ Тип вируса	Грипп	РС	Адено	Бока
Температура	0.789	0.716	0.892	0.615
Кашель	0.744	0.874	0.844	0.918
Одышка	0.400	0.601	0.228	0.557
Боли в горле	0.169	0.115	0.700	0.077
Боль в груди	0.154	0.147	—	—
Ринит	0.301	0.616	0.375	0.808
Головная боль	0.181	0.012	0.684	—
Диарея	0.111	0.135	0.166	0.443
Боли в животе	0.091	0.082	0.165	0.819
Число заболеваний	5957	1186	1999	525

Таблица 3: Вероятности наличия симптомов для каждого вируса

3.3 Точный тест Фишера

В дополнение к проявлению симптомов, сезон рассматривается как дополнительный признак. Для оценки статистической значимости признаков проведен анализ таблиц сопряженности.

Так как проводится анализ наличия зависимости между типом вируса и симптомом для небольших выборок, воспользуемся точным тестом Фишера. Это тест статистической значимости, используемый в анализе категориальных данных, когда размеры выборки малы (являются маленькими). Точный критерий Фишера позволяет проверить гипотезу о независимости двух переменных на основе таблиц

сопряженности размером 2 на 2. Выполняется подсчет двустороннего теста с помощью средств языка Python. Полученные результаты вычислений представлены в таблице 4.

Если значение точного критерия Фишера больше критического, принимается нулевая гипотеза и делается вывод об отсутствии статистически значимых различий частоты наличия симптома в зависимости от типа вируса. Если значение точного критерия Фишера меньше критического, принимается альтернативная гипотеза и делается вывод о наличии данной зависимости (13).

Для данного исследования в соответствии с рекомендациями Министерства Здравоохранения был установлен критический уровень значимости $p = 0.001$, все результаты, которые являются статистически значимыми на этом уровне, выделены в таблице 4 полужирным шрифтом.

	Грипп РС	Грипп Адено	Грипп Бока	РС Адено	РС Бока	Адено Бока
Температура	$3.7 * 10^{-4}$	$1.4 * 10^{-33}$	$7.8 * 10^{-25}$	$3.5 * 10^{-31}$	$8.2 * 10^{-10}$	$6.8 * 10^{-62}$
Кашель	$1.6 * 10^{-33}$	$6.7 * 10^{-7}$	$6.0 * 10^{-21}$	$1.4 * 10^{-13}$	$9.9 * 10^{-2}$	$1.7 * 10^{-11}$
Одышка	$2.8 * 10^{-88}$	$1.6 * 10^{-1}$	$9.1 * 10^{-30}$	$4.5 * 10^{-48}$	$1.4 * 10^{-1}$	$5.1 * 10^{-24}$
Боли в горле	$5.4 * 10^{-2}$	0.0	$7.1 * 10^{-1}$	$1.3 * 10^{-132}$	1.0	$1.6 * 10^{-9}$
Боли в груди	$4.3 * 10^{-1}$	—	—	—	—	—
Ринит	$1.2 * 10^{-135}$	$6.3 * 10^{-137}$	$3.2 * 10^{-38}$	$9.9 * 10^{-2}$	$8.4 * 10^{-5}$	$2.2 * 10^{-6}$
Головная боль	$6.9 * 10^{-7}$	$1.3 * 10^{-59}$	—	$1.4 * 10^{-45}$	—	—
Диарея	$1.7 * 10^{-12}$	$2.5 * 10^{-45}$	$2.6 * 10^{-34}$	$6.1 * 10^{-1}$	$3.6 * 10^{-6}$	$1.2 * 10^{-7}$
Боли в животе	$1.5 * 10^{-2}$	$7.9 * 10^{-37}$	$2.2 * 10^{-64}$	$4.3 * 10^{-3}$	$6.5 * 10^{-30}$	$2.2 * 10^{-31}$
Зима	$9.3 * 10^{-27}$	$1.6 * 10^{-46}$	$7.1 * 10^{-16}$	$1.9 * 10^{-9}$	$3.9 * 10^{-2}$	$1.4 * 10^{-2}$
Весна	$6.7 * 10^{-18}$	$9.7 * 10^{-3}$	$4.6 * 10^{-9}$	$5.7 * 10^{-14}$	$1.2 * 10^{-21}$	$8.5 * 10^{-4}$
Лето	$1.5 * 10^{-3}$	$2.0 * 10^{-76}$	$8.5 * 10^{-12}$	$4.6 * 10^{-37}$	$4.5 * 10^{-5}$	$7.2 * 10^{-8}$
Осень	$3.8 * 10^{-10}$	$1.2 * 10^{-85}$	$2.6 * 10^{-96}$	$4.9 * 10^{-33}$	$1.1 * 10^{-45}$	$3.3 * 10^{-4}$

Таблица 4: Точный критерий Фишера, полученный по таблице сопряженности для каждого двух вирусов и каждого симптомов

В результате проведенного исследования установлено, что сезон является значимым дополнительным признаком в анализе заболеваний. Кроме того, статистически значимыми на уровне значимости $p = 0.001$ оказались все симптомы, за исключением "Боль в груди".

4 Исследование гетерогенности

Важным моментом в вопросе мета-анализа является оценка гетерогенности включаемых исследований. Рассмотрим значение I^2 , как наиболее широко применяемый показатель оценки гетерогенности исследований (15). Формула для расчета показателя I^2 выглядит следующим образом:

$$I^2 = \frac{Q - df}{Q} * 100\%,$$

где df – число степеней свободы, Q – значение статистики (здесь рассматривается χ^2).

Пороговые значения низкой, умеренной и высокой гетерогенности исследований эмпирически установлены на уровнях 25, 50 и 75% соответственно (15).

4.1 По статьям для каждого типа вируса

Проведем анализ данных для каждого типа вируса с целью выявления гетерогенности статей, включаемых в исследование одного конкретного вируса.

Для достижения данной цели выполнен подсчет вероятности наличия симптома для каждого типа вируса, основываясь на отношении количества симптомов к общему числу заболевших в статьях, где симптом упоминается. Полученные результаты представлены в таблице 5.

Опишем схему, по которой будет выполняться исследование гетерогенности данных по статьям.

Рассмотрим i -й симптом и j -й тип вируса. Предположим, что для данного симптома и данного типа вируса информация предоставлена в N_{ij} статьях. Обозначим за p_{ij} теоретическую частоту наличия i -го симптома при j -м типе вируса, взятую из таблицы 5; за n_j^k обозначим суммарное число заболевших в k -й статье для j -го типа вируса; за m_{ij}^k обозначим число людей, имеющих i -й симптом и j -й тип вируса в k -й статье. Тогда статистика χ^2 может быть вычислена следующим образом:

$$\chi_{ij}^2 = \sum_{k=1}^{N_{ij}} \frac{(m_{ij}^k - p_{ij} * n_j^k)^2}{p_{ij} * n_j^k} + \sum_{k=1}^{N_{ij}} \frac{((n_j^k - m_{ij}^k) - (1 - p_{ij}) * n_j^k)^2}{(1 - p_{ij}) * n_j^k}$$

А статистика I^2 :

$$I_{ij}^2 = \frac{\chi_{ij}^2 - df_{ij}}{\chi_{ij}^2} * 100\%,$$

где $df_{ij} = N_{ij} - 1$ – число степеней свободы.

Симптом \ Тип вируса	Грипп	РС	Адено	Бока
Температура	0.796	0.744	0.911	0.587
Кашель	0.714	0.879	0.772	0.910
Одышка	0.276	0.598	0.250	0.556
Боли в горле	0.167	0.124	0.853	0.077
Боли в груди	0.138	0.155	–	–
Ринит	0.237	0.622	0.588	0.800
Головная боль	0.117	0.012	0.684	–
Диарея	0.063	0.180	0.193	0.352
Боли в животе	0.039	0.082	0.164	0.819
Число заболеваний	5957	1186	1999	525

Таблица 5: Доля пациентов с наличием симптома для каждого вируса

Симптом \ Тип вируса	Грипп	РС	Адено	Бока
Температура	97.6	92.9	90.1	74.2
Кашель	97.9	90.7	89.2	38.8
Одышка	98.7	97.8	88.0	92.5
Боли в горле	94.5	70.2	99.3	≤ 0
Боли в груди	87.5	52.5	–	–
Ринит	95.7	97.5	95.3	81.2
Головная боль	95.9	≤ 0	≤ 0	–
Диарея	97.4	93.7	84.1	98.2
Боли в животе	93.9	≤ 0	≤ 0	≤ 0

Таблица 6: Статистика I^2 , вычисленная по статьям, %

Полученные результаты представлены в таблице 6. При этом значениями ≤ 0 обозначены случаи, когда в выборке либо имеется только одна статья для i -го симптома и j -го вируса, либо когда имеются две статьи с одинаковой информацией о наличии i -го симптома и о числе заболевших.

Анализ показал, что данные, соответствующие одному типу инфекции, являются в значительной степени гетерогенными. Тем не менее, дальнейшее исследование показывает, что такая гетерогенность не мешает работе алгоритма с использованием наивного байесовского классификатора.

4.2 Между различными вирусами

Исследуем гетерогенность между различными типами вирусов, чтобы показать, что гетерогенность между ними является более значимой, чем внутри одного вируса. Используем доверительный интервал Клоппера-Пирсона для бинарных ответов (17).

Данные интервалы были вычислены программно с помощью средств языка Python и представлены в таблице 7. Визуализация доверительных интервалов для каждого типа вируса и для каждого симптома произведена на рисунке 4.

Симптом \ Тип вируса	Грипп	РС	Адено	Бока
Температура	(0.782, 0.811)	(0.706, 0.780)	(0.893, 0.927)	(0.530, 0.642)
Кашель	(0.699, 0.730)	(0.851, 0.903)	(0.747, 0.796)	(0.867, 0.942)
Одышка	(0.260, 0.293)	(0.517, 0.592)	(0.198, 0.281)	(0.491, 0.619)
Боли в горле	(0.154, 0.181)	(0.080, 0.182)	(0.827, 0.876)	(0.000, 0.449)
Боли в груди	(0.121, 0.156)	(0.105, 0.216)	—	—
Ринит	(0.221, 0.254)	(0.578, 0.664)	(0.555, 0.620)	(0.691, 0.882)
Головная боль	(0.101, 0.135)	(0.000, 0.053)	(0.585, 0.773)	—
Диарея	(0.053, 0.075)	(0.131, 0.238)	(0.170, 0.218)	(0.273, 0.438)
Боли в животе	(0.031, 0.050)	(0.037, 0.152)	(0.137, 0.194)	(0.676, 0.919)

Таблица 7: Верхние и нижние доверительные интервалы, вычисленные методом Клоппера-Пирсона при $\alpha = 0.01$

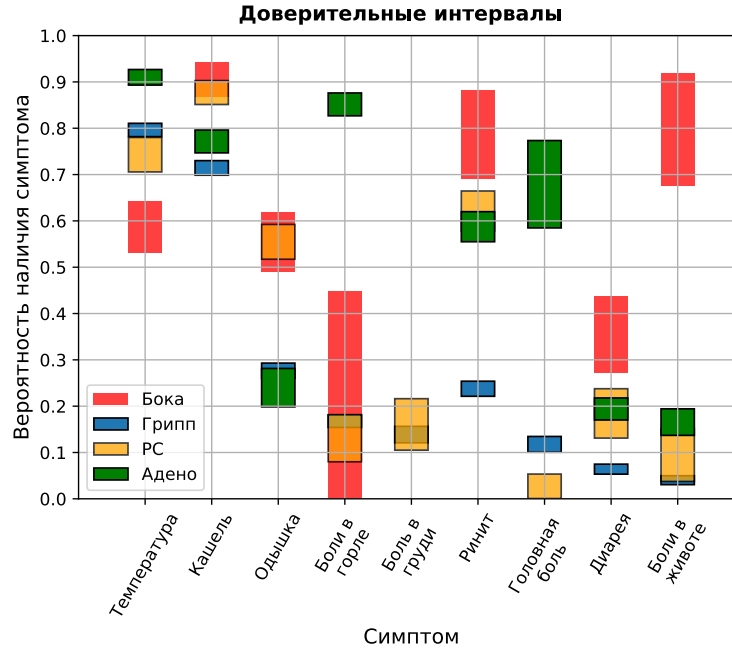


Рис. 4: Визуализация доверительных интервалов, вычисленных методом Клоппера-Пирсона при $\alpha = 0.01$

Статистика по статьям для каждого типа вируса и каждого симптома в сравнении с доверительными интервалами отображена на рисунках 5, 6, 7, 8. Различные цвета соответствуют различным статьям.

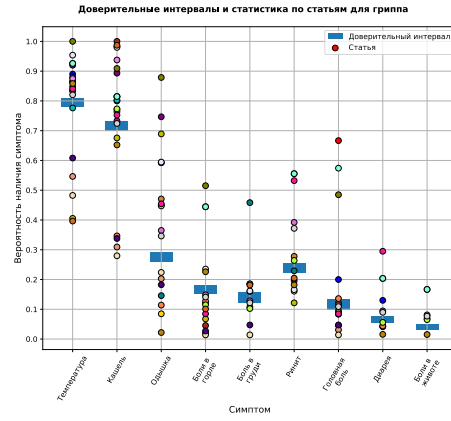


Рис. 5: Визуализация доверительных интервалов и статистики по статьям для гриппа

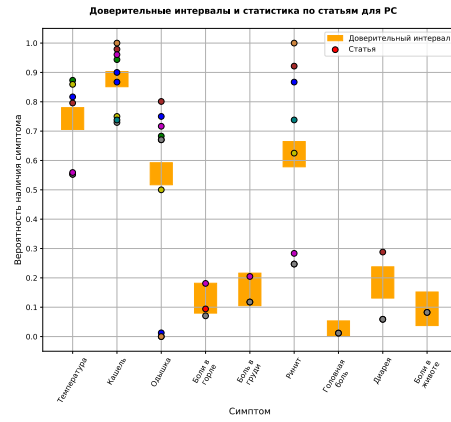


Рис. 6: Визуализация доверительных интервалов и статистики по статьям для РС

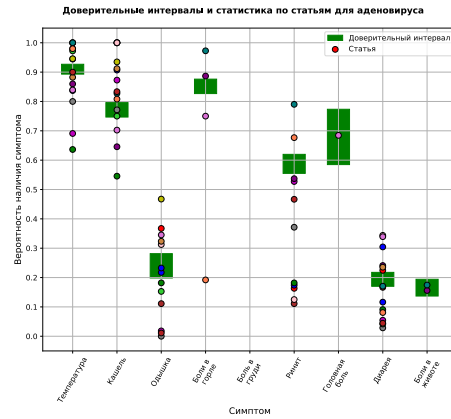


Рис. 7: Визуализация доверительных интервалов и статистики по статьям для аденовируса

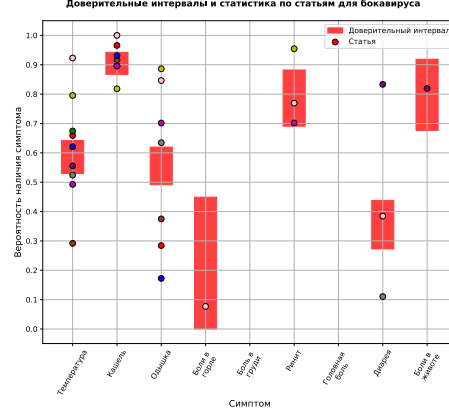


Рис. 8: Визуализация доверительных интервалов и статистики по статьям для бокавируса

Результаты проведенного анализа данных свидетельствуют о высокой степени гетерогенности статей, включенных в исследование. Это подчеркивает важность учета гетерогенности при оценке качества распознавания типа вируса по набору симптомов и сезону.

4.3 Наивный байесовский классификатор

Для произведения оценки принадлежности объекта к конкретному типу вируса на основании набора признаков применен алгоритм наивного байесовского классификатора в предположении, что все признаки являются независимыми друг от друга.

При реализации алгоритма необходимо по набору симптомов вычислять относительные вероятности принадлежности к одному из четырех типов вируса. Ранее было получено, что прослеживается зависимость между сезоном и типом вируса. Поэтому сезон будет рассматриваться как отдельный признак, дополняющий таблицу 3. Напомним также, что симптом "Боль в груди" не рассматривается. В результате получается таблица 8. При этом признак "Без учета сезона" оставлен в таблице на случай пропусков в данных.

Симптом \ Тип вируса	Грипп	РС	Адено	Бока
Температура	0.789	0.716	0.892	0.615
Кашель	0.744	0.874	0.844	0.918
Одышка	0.400	0.601	0.228	0.557
Боли в горле	0.169	0.115	0.700	0.077
Ринит	0.301	0.616	0.375	0.808
Головная боль	0.181	0.012	0.684	—
Диарея	0.111	0.135	0.166	0.443
Боли в животе	0.091	0.082	0.165	0.819
Произведения вероятностей симптомов	2.184×10^{-5}	3.539×10^{-6}	8.441×10^{-4}	7.10×10^{-3}
Зима	0.745	0.168	0.052	0.037
Весна	0.643	0.272	0.064	0.021
Лето	0.075	0.092	0.717	0.117
Осень	0.142	0.151	0.382	0.326
Без учета сезона	0.675	0.195	0.083	0.047

Таблица 8: Признаки и вероятности их наличия для каждого из типов вируса

В данной таблице 8 у бокавируса пропущен один признак ("Головная боль"), в связи с этим подсчет вероятностей будет выполняться по схеме, описанной далее.

У одного из вирусов отсутствует информация о наличии одного из рассматриваемых симптомов. Обозначим этот признак x_i . Вирусы разделяются на две группы: G_1 , состоящей из вирусов K_1, K_2 ,

K_3 , для которых известны все признаки, и G_2 , состоящей из вируса K_4 . Далее вероятность наличия некоторого вируса при заданной симптоматике будем называть вероятностью вируса.

Предлагаемый в данном исследовании алгоритм выглядит следующим образом:

Шаг 1. Вычисление $P(G_1)$ и $P(G_2)$. Рассматривается подмножество признаков \tilde{X} , известных для всех вирусов. По этим признакам с использованием формулы (1) вычисляются вероятности наличия каждого из вирусов. Вероятность $P(G_1)$ вычисляется как сумма полученных вероятностей вирусов K_1, K_2, K_3 ; вероятность $P(G_2)$ как полученная вероятность вируса K_4 .

Шаг 2. Вычисление $P(K_1), P(K_2), P(K_3)$. Рассматриваются вирусы, для которых известны признаки из подмножества \tilde{X} и признак x_i . С помощью формулы (1) с использованием всех признаков вычисляются вероятности $P(K_1), P(K_2), P(K_3)$. Полученные вероятности домножаются на значение $P(G_1)$, рассчитанное на шаге 1.

Шаг 3. Значение $P(K_4)$. Для вируса K_4 с отсутствующим симптомом x_i остается вероятность $P(G_2)$, вычисленная на шаге 1 с использованием формулы (1): $P(K_4) = P(G_2)$.

4.4 Генерация выборки

По таблице 8 сгенерируем выборку. Заметим, что сезон рассматривается в качестве симптома (признака), однако наличие одновременно нескольких сезонов для одного объекта невозможно. Поэтому будем генерировать 10 тысяч объектов для каждого сезона, затем по вероятностям каждого типа вируса для конкретного сезона будет выбран вирус, а далее для конкретного вируса будут сгенерированы 8 симптомов с данными в таблице 8 вероятностями. Затем все объекты в полученной выборке перемешаем случайным образом. В результате получаем таблицу, представленную на рис.9.

Тип вируса	Сезон	Температура	Кашель	Одышка	Боль в горле	Рвот	Головная боль	Диарея	Боль в животе
0	Грипп	Весна	1	1	1	0	0	0	0
1	Бол	Осень	1	1	0	0	1	0	1
2	Грипп	Зима	1	1	0	0	1	0	0
3	Адено	Осень	1	0	0	1	1	0	0
4	Грипп	Весна	0	1	0	0	0	0	0
...
39995	Грипп	Весна	1	0	1	0	0	0	0
39996	РС	Зима	1	1	0	0	1	0	0
39997	Грипп	Зима	1	1	0	0	0	0	0
39998	Грипп	Весна	1	1	1	0	1	0	1
39999	Грипп	Осень	0	1	0	0	0	1	0

40000 rows x 10 columns

Рис. 9: Полученная выборка

4.5 Качество алгоритма

Рассмотренный ранее позволяет оценить принадлежность объекта к каждому из четырех классов. Для оценки качества работы алгоритма построены 4 ROC-кривых методом "один против всех".

Полученные результаты представлены на графиках 10, 11, 12, 13.

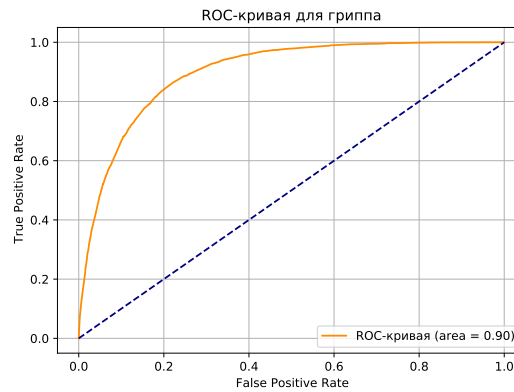


Рис. 10: Кривая ошибок для гриппа

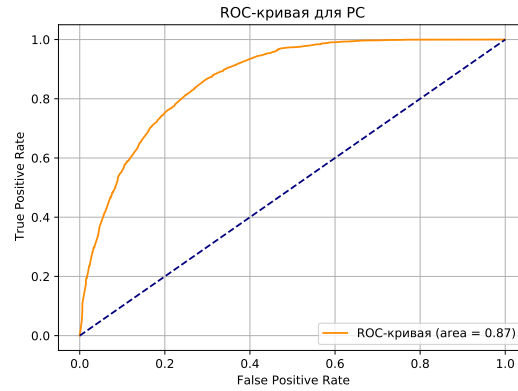


Рис. 11: Кривая ошибок для респираторно-синцитиального вируса

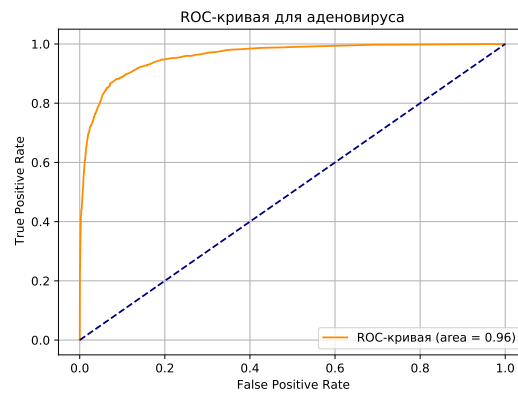


Рис. 12: Кривая ошибок для аденовируса

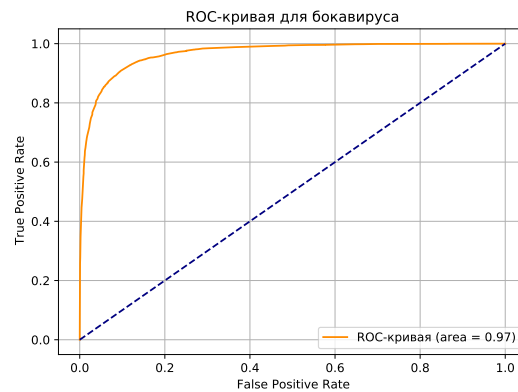


Рис. 13: Кривая ошибок для бокавируса

Полученное качество по метрике ROC-AUC превышает 0,87, а для отдельных типов вирусов достигает 0,98.

Работа алгоритма рассматривается и для исследования гетерогенности данных. Для каждого вируса случайным образом выбирается медицинская статья и исключается, при этом для остальных вирусов статистики остаются неизменными. В результате данного эксперимента получено, что качество работы алгоритма не ухудшается, что говорит о том, что различия между вирусами более существенны, чем различия между статьями для одного вируса.

5 Выводы

Построен алгоритм, позволяющий решать задачу классификации типа вируса по данным, собранным из медицинских статей. Алгоритм основан на наивном байесовском классификаторе и качество его работы проверено на сгенерированной выборке. Преимуществом метода является его актуальность в случаях, когда наличие полноценной обучающей выборки невозможно.

Далее планируется работа с полноценной обучающей выборкой, собранной из медицинского учреждения в течение 2023 года, и сравнение построенного алгоритма с классическими методами машинного обучения.

Список литературы

- [1] Материалы ВОЗ
- [2] Малый В.П., Романцов М.Г., Сологуб Т.В. Грипп. Пособие для врачей. СПб.-Харьков; 2007.
- [3] Сологуб Т.В., Осинцев О.Ю. Иммуномодуляторы в комплексной терапии ОРВИ: возможности применения препаратов галавит. Русский медицинский журнал. 2013;3.
- [4] Инфекционные болезни: национальное руководство. Под общ. ред. Ющука Н.Д., Венгерова Ю.Я. М.: Гэотар-Мед.; 2009.
- [5] Ершов Ф.И., Касьянова Н.В. Современные принципы профилактики и лечения гриппа и ОРВИ. Consilium medicum. 2004;1:1-13.
- [6] Афанасьева И.А. Гипорамин в лечении ОРВИ у детей. Русский медицинский журнал. 2005;21:1404-1405.
- [7] Ершова А.К. Комплексный подход к лечению острых респираторных вирусных заболеваний. Русский медицинский журнал. 2011;18.
- [8] Романцов М.Г., Киселев О.И., Сологуб Т.В. Этиопатогенетическая фармакотерапия ОРВИ и гриппа. Лечащий врач. 2011;2:92-96.
- [9] Трухан Д.И., Мазуров А.Л., Речапова Л.А. Острые респираторные вирусные инфекции: актуальные вопросы диагностики, профилактики и лечения в практике терапевта. Терапевтический архив. 2016;88(11):76-82.
- [10] Г. Аптон. Анализ таблиц сопряженности
- [11] Р 50.1.033–2001. Рекомендации по стандартизации. Прикладная статистика. Правила проверки согласия опытного распределения с теоретическим. Часть I. Критерии типа хи-квадрат. – М.: Изд-во стандартов. 2002. – 87 с.
- [12] Р 50.1.033–2001. Прикладная статистика. Правила проверки согласия опытного распределения с теоретическим. Методические рекомендации. Часть II. Непараметрические критерии
- [13] Библиотека постов MEDSTATISTIC об анализе медицинских данных. ТОЧНЫЙ КРИТЕРИЙ ФИШЕРА.
- [14] О. В. Сенько, “Перестановочный тест в методе оптимальных разбиений”, Ж. вычисл. матем. и матем. физ., 43:9 (2003), 1422–1431; Comput. Math. Math. Phys., 43:9 (2003), 1368–1376
- [15] Акад. РАН Ю.В. БЕЛОВ, к.м.н. Г.И. САЛАГАЕВ, к.м.н. А.В. ЛЫСЕНКО, к.м.н. П.В. ЛЕДНЕВ. Мета-анализ в медицине. Хирургия 3, 2018.
- [16] Р. Р. Гулиев, О. В. Сенько, Д. А. Затейщиков, В. В. Носиков, И. В. Упоров, А. В. Кузнецова, М. А. Евдокимова, С. Н. Терещенко, Е. В. Акатова, М. Г. Глезер, А. С. Галявич, Н. А. Козиолова, А. В. Ягода, О. И. Боева, С. В. Шлык, С. Ю. Левашов, В. О. Константинов, В. А. Бражник, С. Д. Варфоломеев, И. Н. Курочкин, “Применение оптимальных разбиений для многопараметрического анализа данных в клинических исследованиях”, Матем. биология и биоинформ., 11:1 (2016), 46–63
- [17] А. М. Гржибовский. ДОВЕРИТЕЛЬНЫЕ ИНТЕРВАЛЫ ДЛЯ ЧАСТОТ И ДОЛЕЙ. Экология человека 2008.05. УДК 31:61